



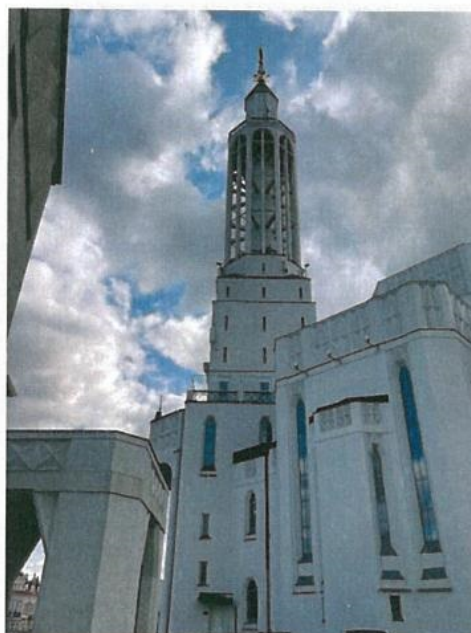
Laboratorium EMVO Sp. J. Urbański, Pawełak
ul. Jasna 1
00-013 Warszawa



tel. +48 22 780 29 64
e-mail: laboratorium@emvo.pl



AB 1630

Sprawozdanie z pomiarów pól elektromagnetycznych - środowisko ogólne nr 6/03/OŚ/2021- ATE/WA



Nr i nazwa stacji	BT11155 Piaski	
Adres	15-871 Białystok, ul. ks. Adama Abramowicza, woj. podlaskie	
Opracowanie		Specjalista ds. pomiarów
Autoryzacja		Kierownik Laboratorium
Podpis	Podpis jest prawidłowy  	
Data	2021-03-16	

Spis treści

1. Informacje ogólne.....	3
2. Podstawa prawna.....	3
3. Opis pomiarów.....	3
4. Zróżnicowanie dopuszczalne poziomy pól elektromagnetycznych.....	5
5. Charakterystyka źródeł PEM.....	5
6. Wyniki pomiarów.....	5
7. Stwierdzenie zgodności.....	8
8. Oświadczenie.....	8
9. Spis załączników.....	8

1. Informacje ogólne.

Zleceniodawca	ATEM – Polska Sp. z o.o., 20-315 Lublin, ul. Witosa 3 Osoba udzielająca informacji – [REDACTED] [REDACTED]
Istotne informacje dostarczone przez klienta	komplet informacji niezbędnych do wykonania pomiarów i opracowania sprawozdania
Dane otrzymane od klienta mogące mieć wpływ na ważność wyników	Dane anten sektorowych, dane anten radioliniowych, parametry pracy instalacji, poprawka pomiarowa, ustawienie pochylenia anten
Prowadzący instalację	Polkomtel Infrastruktura sp. z o.o., ul. Konstruktorska 4, 02-673 Warszawa
Lokalizacja obiektu	15-871 Białystok, ul. ks. Adama Abramowicza, woj. podlaskie
Miejsce instalacji anten	Kościół
Miejsce instalacji urządzeń	Indoor
Osoby wykonujące pomiar	[REDACTED]
Data wykonania pomiaru	16.03.2021
Temperatura na początku pomiaru [°C]	4,5
Temperatura na koniec pomiaru [°C]	3,0
Warunki atmosferyczne	Brak opadów
Wilgotność na początku pomiaru [%]	55,0
Wilgotność na koniec pomiaru [%]	58,0
Inne źródła pól elektromagnetycznych oznaczone na załączniku graficznym	Występują
Parametry pracy instalacji	Rzeczywisty

2. Podstawa prawna.

2.1 Normy i rozporządzenia:

- Rozporządzeniem Ministra Klimatu z dnia 17 lutego 2020 r. w sprawie sposobów sprawdzania dotrzymania dopuszczalnych poziomów pól elektromagnetycznych w środowisku (Dz.U. 2020 poz. 258)
- Rozporządzenie Ministra Zdrowia z dnia 17 grudnia 2019 r. w sprawie dopuszczalnych poziomów pól elektromagnetycznych w środowisku (Dz.U. 2019 poz. 2448)
- Obwieszczenie Marszałka Sejmu Rzeczypospolitej Polskiej z dnia 19 lipca 2019 r. w sprawie ogłoszenia jednolitego tekstu ustawy - Prawo ochrony środowiska (Dz.U. 2019 poz. 1396).

3. Opis pomiarów

Metodologia pomiarowa

Pomiary w oparciu o Rozporządzeniem Ministra Klimatu z dnia 17 lutego 2020 r. w sprawie sposobów sprawdzania dotrzymania dopuszczalnych poziomów pól elektromagnetycznych w środowisku (Dz.U. 2020 poz. 258).

Cel badań	Określenie wartości natężenia pola elektrycznego w miejscach dostępnych dla ludności.
Opis zestawu pomiarowego	Miernik Narda NBM 520, Sonda EF 9091, o zakresie pomiarowym 0,8 V/m 300V/m pracująca w paśmie 80 MHz – 90 GHz, świadectwo wydane przez Laboratorium Wzorców i Metrologii Pola Elektromagnetycznego, Instytut Telekomunikacji, Teleinformatyki i Akustyki Politechniki Wrocławskiej, numer świadectwa: LWIMP/W/052/21, świadectwo ważne do 12.03.2023r. Miernik Narda NBM 520, Sonda EF 9091 pracująca w zakresie temperatury -10°C - +50°C oraz wilgotności 5% - 95%. Niepewność rozszerzona 59,8% przy poziomie ufności 95% z uwzględnieniem współczynnika rozszerzenia k=2.
Wyposażenie pomocnicze	Termohigrometr Bestone, typ: GM1362-EN-00, nr identyfikacyjny 1222436, świadectwo wzorcowania z dn. 03.04.2017r. wydane przez Laboratorium Pomiarowe "MUTECH". Przymiar wstępowy STABILA, nr seryjny 10721, świadectwo wzorcowania z dn. 19.06.2017r. wydane przez Zespół Laboratoriów wzorcujących Okręgowego Urzędu Miar w Gdańsku. GPS Garmin 64s okresowo sprawdzany w punktach osnowy geodezyjnej klasy 3 na podstawie licencji punktu, zgodnie z procedurą sprawdzeń okresowych IS/PO-16-11/03.
Pomiary zostały wykonane	<ol style="list-style-type: none"> 1. na głównych i pomocniczych kierunkach pomiarowych, na kierunkach zbliżonych do azymutów anten oraz w dodatkowych pionach pomiarowych zgodnie z wymaganiami pkt 12, 13, 14 i 19 załącznika do rozporządzenia Ministra Klimatu z dnia 17 lutego 2020 r. (Dz. U. 2020, poz. 258), 2. na obszarze pomiarowym, dla którego, na podstawie uprzednio wykonanych obliczeń uzyskanych od zleceniodawcy, stwierdzono możliwość występowania pól elektromagnetycznych o poziomach zbliżonych do poziomów dopuszczalnych zgodnie z wymaganiami pkt 5 ppkt 2 oraz pkt 13 ppkt 1 załącznika do rozporządzenia Ministra Klimatu z dnia 17 lutego 2020 r. (Dz. U. 2020, poz. 258). Wyniki obliczeń nie uwzględniały parametrów pracy instalacji innych operatorów występujących na obiekcie bądź w obszarze pomiarowym. 3. w miejscach dostępnych dla ludności. 4. miejsca niedostępne podczas wykonywania pomiarów wskazane zostały w pkt 6 (tabeli wyniki pomiarów) 5. wyniki pomiarów uzyskane zostały przy uwzględnieniu poprawek pomiarowych przekazanych przez zleceniodawcę oraz przy rzeczywistych warunkach pracy instalacji innych operatorów (w przypadku występowania). W takiej sytuacji uwzględniono jednolitą poprawkę pomiarową wynoszącą 2,0.
Szczególne warunki podczas wykonywania pomiarów	Pomiary wykonane zostały podczas obowiązywania w kraju stanu epidemii, zgodnie z art. 122a ust. 1b Ustawy z dnia 27 kwietnia 2001 r. – Prawo ochrony środowiska (Dz. U. z 2019 r. poz. 1396, z późn. zm.9))
Warunki pracy urządzeń nadawczych	Podczas pomiarów zostały uwzględnione poprawki pomiarowe przekazane przez zleceniodawcę, umożliwiające uwzględnienie maksymalnych parametrów pracy instalacji zgodnie z pkt 7 załącznika do Rozporządzeniem Ministra Klimatu z dnia 17 lutego 2020 r. w sprawie sposobów sprawdzania dotrzymania dopuszczalnych poziomów pól elektromagnetycznych w środowisku (Dz. U. 2020, poz. 258).

4. Zróżnicowanie dopuszczalne poziomy pól elektromagnetycznych.

Zakresy znajdują się w Dzienniku Ustaw z dnia 17 grudnia 2019 r. przedstawione są w tabeli nr 2 (Dz. U. z 2019r. poz. 2448).

Parametr fizyczny	Składowa elektryczna E (V/m)	Składowa magnetyczna H (A/m)	Gęstość mocy S (W/m ²)
Zakres Częstotliwości pola elektromagnetycznego			
od 400 MHz do 2000 MHz	$1,375 \times f^{0,5}$	$0,0037 \times f^{0,5}$	$f / 200$
od 2 GHz do 300 GHz	61	0,16	10

5. Charakterystyka źródeł PEM.

Zgodnie z informacją otrzymaną od Klienta pomiary zostały wykonane przy ustawieniach pochylenia anten zgodnych z pkt. 13, ppkt 2 załącznika do rozporządzenia Ministra Klimatu z dnia 17 lutego 2020 roku.

Tabela 1. Anteny sektorowe - dane otrzymane od klienta

Typ anteny	Współrzędne geograficzne	Azymut mechaniczny [°]	Azymut elektryczny [°]	Wysokość środka elektrycznego anten n.p.t. [m]	Pasma częstotliwości	Zakres pochylenia elektrycznego [°]	Średnie pochylenie anten (ustawione do pomiarów PEM) [°]	Kąt pochylenia mechanicznego [°]	Moc EIRP [W]	Suma EIRP [W]
80010647V01	53°08'04.99"N 23°08'42.53"E	45	45	40	900	0-8	4,0	0	5679	5679
80010647V01	53°08'04.99"N 23°08'42.53"E	165	165	40	900	0-8	4,0	0	5679	5679
80010647V01	53°08'04.99"N 23°08'42.53"E	285	285	40	900	0-8	4,0	0	5400	5400
AQU4518R21V06	53°08'04.99"N 23°08'42.53"E	10	10	30,5	1800	0-3	1,5	0	3044	16978
					2100	0-3	1,5	0	4408	
					2600	0-3	1,5	0	9526	
AQU4518R21V06	53°08'04.99"N 23°08'42.53"E	114	114	30,5	1800	0-5	2,5	0	3044	16978
					2100	0-5	2,5	0	4408	
					2600	0-5	2,5	0	9526	
AQU4518R21V06	53°08'04.15"N 23°08'41.16"E	220	220	31,5	1800	0-3	1,5	0	3044	16978
					2100	0-3	1,5	0	4408	
					2600	0-3	1,5	0	9526	

Tabela 2. Anteny radioliniowe - dane otrzymane od klienta

Typ anteny	Współrzędne geograficzne	Azymut [°]	Średnica [m]	Pasma częstotliwości [GHz]	Zysk energetyczny [dBi]	Moc wyjściowa nadajnika [dBm]	EIRP [W]	Wysokość środka elektrycznego anten n.p.t. [m]
HAE1-80	53°08'04.99"N 23°08'42.53"E	224	0,3	80	47,8	13	1202,26	42,2

6. Wyniki pomiarów.

Wyniki pomiarów pól elektromagnetycznych dla celów ochrony środowiska przedstawia poniższa tabela. Piony pomiarowe zostały przedstawione w zał. 2.

Nr PP	Pole-E [V/m]	Pole-E *kE, +U [V/m]	Pole-H [A/m]	Pole-H *kE +U [A/m]	Wys. pomiaru [m]	Opis pionu	Uwagi	WM _E	WM _H
1	1,0	3,20	0,003	0,008	0,8	N:53°08'06.4" E:23°08'43.1"	otoczenie stacji bazowej - 50m wzdłuż gł. osi promieniowania - GKP	0,082	0,081

„Bez pisemnej zgody Laboratorium niniejsze sprawozdanie nie może być powielane inaczej, jak tylko w całości. Ponadto wyniki dotyczą tylko badanych obiektów przywołanych w niniejszym sprawozdaniu z badań”

2	1,8	5,75	0,005	0,015	0,9	N:53°08'08.3" E:23°08'44.2"	otoczenie stacji bazowej - 100m wzdłuż gł. osi promieniowania - GKP	0,148	0,146
3	2,2	7,03	0,006	0,019	1,1	N:53°08'09.8" E:23°08'44.5"	otoczenie stacji bazowej - 150m wzdłuż gł. osi promieniowania - GKP	0,181	0,178
4	1,9	6,07	0,005	0,016	1,0	N:53°08'11.3" E:23°08'45.3"	otoczenie stacji bazowej - 200m wzdłuż gł. osi promieniowania - GKP	0,156	0,154
5	1,8	5,75	0,005	0,015	1,0	N:53°08'05.7" E:23°08'44.6"	otoczenie stacji bazowej - 50m wzdłuż gł. osi promieniowania - GKP	0,148	0,146
6	1,5	4,79	0,004	0,013	0,8	N:53°08'06.9" E:23°08'46.8"	otoczenie stacji bazowej - 100m wzdłuż gł. osi promieniowania - GKP	0,123	0,122
7	1,3	4,15	0,003	0,011	0,9	N:53°08'08.1" E:23°08'48.6"	otoczenie stacji bazowej - 150m wzdłuż gł. osi promieniowania - GKP	0,107	0,105
8	0,9	2,88	0,002	0,008	0,9	N:53°08'09.2" E:23°08'51.0"	otoczenie stacji bazowej - 200m wzdłuż gł. osi promieniowania - GKP	0,074	0,073
9	1,3	4,15	0,003	0,011	1,4	N:53°08'10.2" E:23°08'53.1"	otoczenie stacji bazowej - 250m wzdłuż gł. osi promieniowania - GKP	0,107	0,105
10	1,8	5,75	0,005	0,015	1,3	N:53°08'04.2" E:23°08'45.1"	otoczenie stacji bazowej - 50m wzdłuż gł. osi promieniowania - GKP	0,148	0,146
11	3,2	10,23	0,008	0,027	1,1	N:53°08'03.6" E:23°08'47.6"	otoczenie stacji bazowej - 100m wzdłuż gł. osi promieniowania - GKP	0,263	0,259
12	<0,8*	<2,56	<0,002	<0,007	0,3-2,0	N:53°08'02.0" E:23°08'52.7"	otoczenie stacji bazowej - 200m wzdłuż gł. osi promieniowania - GKP	<0,066	<0,065
13	1,0	3,20	0,003	0,008	0,8	N:53°08'01.1" E:23°08'54.8"	otoczenie stacji bazowej - 250m wzdłuż gł. osi promieniowania - GKP	0,082	0,081
14	0,8	2,56	0,002	0,007	0,9	N:53°08'00.3" E:23°08'57.6"	otoczenie stacji bazowej - 300m wzdłuż gł. osi promieniowania - GKP	0,066	0,065
15	1,3	4,15	0,003	0,011	1,1	N:53°08'03.0" E:23°08'43.3"	otoczenie stacji bazowej - 50m wzdłuż gł. osi promieniowania - GKP	0,107	0,105
16	<0,8*	<2,56	<0,002	<0,007	0,3-2,0	N:53°07'58.2" E:23°08'45.4"	otoczenie stacji bazowej - 200m wzdłuż gł. osi promieniowania - GKP	<0,066	<0,065
17	1,2	3,84	0,003	0,010	1,0	N:53°07'56.9" E:23°08'45.7"	otoczenie stacji bazowej - 250m wzdłuż gł. osi promieniowania - GKP	0,099	0,097
18	1,7	5,43	0,005	0,014	0,8	N:53°07'55.4" E:23°08'46.2"	otoczenie stacji bazowej - 300m wzdłuż gł. osi promieniowania - GKP	0,140	0,138
19	<0,8*	<2,56	<0,002	<0,007	0,3-2,0	N:53°07'53.8" E:23°08'46.8"	otoczenie stacji bazowej - 350m wzdłuż gł. osi promieniowania - GKP	<0,066	<0,065
20	<0,8*	<2,56	<0,002	<0,007	0,3-2,0	N:53°08'02.7" E:23°08'38.6"	otoczenie stacji bazowej - 50m wzdłuż gł. osi promieniowania - GKP	<0,066	<0,065
21	1,2	3,84	0,003	0,010	1,4	N:53°08'01.7" E:23°08'36.8"	otoczenie stacji bazowej - 100m wzdłuż gł. osi promieniowania - GKP	0,099	0,097
22	1,5	4,79	0,004	0,013	1,3	N:53°08'00.4" E:23°08'35.0"	otoczenie stacji bazowej - 150m wzdłuż gł. osi promieniowania - GKP	0,123	0,122
23	<0,8*	<2,56	<0,002	<0,007	0,3-2,0	N:53°07'57.2" E:23°08'30.7"	otoczenie stacji bazowej - 300m wzdłuż gł. osi promieniowania - GKP	<0,066	<0,065
24	1,0	3,20	0,003	0,008	1,1	N:53°08'05.3" E:23°08'39.5"	otoczenie stacji bazowej - 50m wzdłuż gł. osi promieniowania - GKP	0,082	0,081
25	1,5	4,79	0,004	0,013	1,1	N:53°08'06.0" E:23°08'36.4"	otoczenie stacji bazowej - 100m wzdłuż gł. osi promieniowania - GKP	0,123	0,122
26	0,9	2,88	0,002	0,008	0,8	N:53°08'06.5" E:23°08'34.8"	otoczenie stacji bazowej - 150m wzdłuż gł. osi promieniowania - GKP	0,074	0,073
27	0,8	2,56	0,002	0,007	0,9	N:53°08'06.9" E:23°08'32.0"	otoczenie stacji bazowej - 200m wzdłuż gł. osi promieniowania - GKP	0,066	0,065
28	1,1	3,52	0,003	0,009	0,8	N:53°08'07.3" E:23°08'29.9"	otoczenie stacji bazowej - 250m wzdłuż gł. osi promieniowania - GKP	0,090	0,089
29	0,9	2,88	0,002	0,008	0,9	N:53°08'07.9" E:23°08'26.6"	otoczenie stacji bazowej - 300m wzdłuż gł. osi promieniowania - GKP	0,074	0,073
30	0,8	2,56	0,002	0,007	1,1	N:53°08'08.6" E:23°08'24.1"	otoczenie stacji bazowej - 350m wzdłuż gł. osi promieniowania - GKP	0,066	0,065
31	<0,8*	<2,56	<0,002	<0,007	0,3-2,0	N:53°08'08.8" E:23°08'22.1"	otoczenie stacji bazowej - 400m wzdłuż gł. osi promieniowania - GKP	<0,066	<0,065
32	<0,8*	<2,56	<0,002	<0,007	0,3-2,0	N:53°08'03.4" E:23°08'40.9"	otoczenie stacji bazowej - 50m wzdłuż gł. osi promieniowania - GKP	<0,066	<0,065
33	1,2	3,84	0,003	0,010	0,8	N:53°08'03.1" E:23°08'44.9"	otoczenie stacji bazowej - GKP	0,099	0,097
34	1,8	5,75	0,005	0,015	0,9	N:53°08'02.8" E:23°08'40.7"	otoczenie stacji bazowej - GKP	0,148	0,146

„Bez pisemnej zgody Laboratorium niniejsze sprawozdanie nie może być powielane inaczej, jak tylko w całości. Ponadto wyniki dotyczą tylko badanych obiektów przywołanych w niniejszym sprawozdaniu z badań”
6/03/OŚ/2021- ATE/WA

35	1,1	3,52	0,003	0,009	0,9	N:53°08'03.8" E:23°08'38.5"	otoczenie stacji bazowej - GKP	0,090	0,089
36	<0,8*	<2,56	<0,002	<0,007	0,3-2,0	N:53°08'06.7" E:23°08'39.6"	otoczenie stacji bazowej - GKP	<0,066	<0,065
37	1,0	3,20	0,003	0,008	1,3	N:53°08'09.8" E:23°08'48.2"	otoczenie stacji bazowej - GKP	0,082	0,081
A	3,6	11,51	0,010	0,031	1,1	N:53°08'05.1" E:23°08'42.9"	Ks. Adama Abramowicza 1, pomiar przed budynkiem -DPP	0,296	0,292
B	1,4	4,47	0,004	0,012	1,1	N:53°08'06.5" E:23°08'43.5"	Ks. Adama Abramowicza 1, pomiar przed budynkiem -DPP	0,115	0,113
C	0,9	2,88	0,002	0,008	1,1	N:53°08'06.9" E:23°08'41.9"	Dąbrowskiego 1, pomiar przed budynkiem -DPP	0,074	0,073
D	0,8	2,56	0,002	0,007	0,8	N:53°08'02.4" E:23°08'43.1"	Rocha 3A, pomiar przed budynkiem -DPP	0,066	0,065
E	<0,8*	<2,56	<0,002	<0,007	0,3-2,0	N:53°08'02.5" E:23°08'44.3"	Rocha 3, piętro 2, okno, klatka -DPP	<0,066	<0,065
F	1,7	5,43	0,005	0,014	0,8	N:53°08'02.9" E:23°08'46.7"	Krakowska 1, pomiar przed budynkiem -DPP	0,140	0,138
G	3,2	10,23	0,008	0,027	0,9	N:53°08'03.1" E:23°08'48.3"	Lipowa 51, pomiar przed budynkiem -DPP	0,263	0,259
H	2,0	6,39	0,005	0,017	1,1	N:53°08'02.6" E:23°08'51.6"	Lipowa 47/1, pomiar przed budynkiem -DPP	0,164	0,162
I	0,9	2,88	0,002	0,008	1,0	N:53°08'02.3" E:23°08'53.9"	Lipowa 45, pomiar przed budynkiem -DPP	0,074	0,073
J	<0,8*	<2,56	<0,002	<0,007	0,3-2,0	N:53°07'59.8" E:23°08'54.8"	Szyborskiej 2, pomiar przed budynkiem -DPP	<0,066	<0,065
K	<0,8*	<2,56	<0,002	<0,007	0,3-2,0	N:53°08'00.9" E:23°08'44.0"	Stołeczna 2b, pomiar przed budynkiem -DPP	<0,066	<0,065
L	<0,8*	<2,56	<0,002	<0,007	0,3-2,0	N:53°07'58.9" E:23°08'44.8"	Stołeczna 2, pomiar przed budynkiem -DPP	<0,066	<0,065
M	<0,8*	<2,56	<0,002	<0,007	0,3-2,0	N:53°07'58.0" E:23°08'44.9"	Stołeczna 5, pomiar przed budynkiem -DPP	<0,066	<0,065
N	1,7	5,43	0,005	0,014	1,4	N:53°07'54.5" E:23°08'46.4"	Brukowa 2, pomiar przed budynkiem -DPP	0,140	0,138
O	<0,8*	<2,56	<0,002	<0,007	0,3-2,0	N:53°07'53.4" E:23°08'47.6"	Brukowa 7, piętro 2, okno, klatka -DPP	<0,066	<0,065
P	<0,8*	<2,56	<0,002	<0,007	0,3-2,0	N:53°07'56.4" E:23°08'30.3"	Sukienna 4, pomiar przed budynkiem -DPP	<0,066	<0,065
R	<0,8*	<2,56	<0,002	<0,007	0,3-2,0	N:53°07'57.6" E:23°08'30.2"	Sukienna 2, pomiar przed budynkiem -DPP	<0,066	<0,065
S	<0,8*	<2,56	<0,002	<0,007	0,3-2,0	N:53°07'57.9" E:23°08'31.3"	Sukienna 1, piętro 1, okno, klatka -DPP	<0,066	<0,065
T	<0,8*	<2,56	<0,002	<0,007	0,3-2,0	N:53°07'59.9" E:23°08'33.9"	Rocha 13, piętro 2, okno, klatka -DPP	<0,066	<0,065
U	2,6	8,31	0,007	0,022	0,9	N:53°08'00.4" E:23°08'35.2"	Rocha 11, piętro 7, okno, klatka -DPP	0,214	0,211
W	1,3	4,15	0,003	0,011	0,8	N:53°08'00.6" E:23°08'36.3"	Rocha 9, pomiar przed budynkiem -DPP	0,107	0,105
V	2,1	6,71	0,006	0,018	0,9	N:53°08'08.4" E:23°08'49.4"	Piłsudskiego 2A-2F, pomiar przed budynkiem -DPP	0,173	0,170
X	1,2	3,84	0,003	0,010	1,1	N:53°08'10.3" E:23°08'52.5"	Piłsudskiego 5, pomiar przed budynkiem -DPP	0,099	0,097
Y	1,7	5,43	0,005	0,014	1,0	N:53°08'10.2" E:23°08'54.2"	Piłsudskiego 7, pomiar przed budynkiem -DPP	0,140	0,138
Z	<0,8*	<2,56	<0,002	<0,007	0,3-2,0	N:53°08'57.5" E:23°08'57.2"	Żabia 12, pomiar przed budynkiem -DPP	<0,066	<0,065
A1	<0,8*	<2,56	<0,002	<0,007	0,3-2,0	N:53°08'13.2" E:23°08'58.9"	Żabia 14, pomiar przed budynkiem -DPP	<0,066	<0,065
B1	0,8	2,56	0,002	0,007	0,9	N:53°08'14.6" E:23°08'47.0"	Artyleryjska 9, pomiar przed budynkiem -DPP	0,066	0,065
C1	1,6	5,11	0,004	0,014	0,9	N:53°08'12.5" E:23°08'45.9"	Artyleryjska 7, pomiar przed budynkiem -DPP	0,131	0,130
D1	1,2	3,84	0,003	0,010	1,4	N:53°08'11.2" E:23°08'46.3"	Artyleryjska 5, pomiar przed budynkiem -DPP	0,099	0,097
E1	2,7	8,63	0,007	0,023	1,3	N:53°08'09.9" E:23°08'46.6"	Piłsudskiego 3, pomiar przed budynkiem -DPP	0,222	0,219

„Bez pisemnej zgody Laboratorium niniejsze sprawozdanie nie może być powielane inaczej, jak tylko w całości. Ponadto wyniki dotyczą tylko badanych obiektów przywołanych w niniejszym sprawozdaniu z badań”

Wy26nik pomiaru pole - E [V/m] - maksymalna wartość chwilowa zmierzona w danych pionie pomiarowym

* pon27iżej czułości zestawu pomiarowego

GKP – g128ówne kierunki pomiarowe

PKP – pom29ocnicze kierunki pomiarowe

DPP- dodatkowe punkty pomiarowe

PP – pion pomiarowy

U - niepewność pomiarowa rozszerzona, przy poziomie ufności 95%, z uwzględnieniem współczynnika rozszerzenia $k=2$

kE – poprawka pomiarowa badanej instalacji radiokomunikacyjnej podana przez operatora ($kE=1,4$), poprawka pomiarowa w przypadku oddziaływania innych instalacji radiokomunikacyjnych na badany obszar ($kE=2,0$)

WM_E - wartość wskaźnikowa poziomu emisji pól elektromagnetycznych dla miejsc dostępnych dla ludności dla składowej elektrycznej pola

WM_H - wartość wskaźnikowa poziomu emisji pól elektromagnetycznych dla miejsc dostępnych dla ludności dla składowej magnetycznej pola

Przyjęto najniższą dopuszczalną wartość składowej elektrycznej pola dla objętego pomiarami zakresu częstotliwości $\min(ME_{gr})= 38,8$ V/m oraz składowej magnetycznej $\min(MH_{gr})=0,105$ A/m.

7. Stwierdzenie zgodności

- Na podstawie wytycznych podanych w Rozporządzeniu Ministra Zdrowia z dnia 17 grudnia 2019 r. w sprawie dopuszczalnych poziomów pól elektromagnetycznych w środowisku (Dz.U. 2019 poz. 2448) oraz sposobów sprawdzania dotrzymania tych poziomów zgodnie z Rozporządzeniem Ministra Klimatu z dnia 17 lutego 2020 r. w sprawie sposobów sprawdzania dotrzymania dopuszczalnych poziomów pól elektromagnetycznych w środowisku (Dz.U. 2020 poz. 258) dotyczących źródła wymagań, które muszą być spełnione (załącznik do rozporządzenia Ministra Klimatu z dnia 17 lutego 2020 r. (poz. 258)), w oparciu o zasadę podejmowania decyzji zgodną z pkt 26 załącznika do rozporządzenia Ministra Klimatu z dnia 17 lutego 2020 r. (poz. 258), na podstawie wyników pomiarów pól elektromagnetycznych wykonanych w dniu 16.03.2021 stwierdzono, iż w miejscach dostępnych dla ludności, dopuszczalne poziomy pól elektromagnetycznych w środowisku, określone w przepisach wydanych na podstawie art. 122 ust. 1 ustawy z dnia 27 kwietnia 2001 r. – Prawo ochrony środowiska, uznaje się za dotrzymane w obszarze pomiarowym, w którym w wyniku zastosowania sposobu sprawdzenia dotrzymania dopuszczalnych poziomów pól elektromagnetycznych w środowisku, udokumentowano, że żadna z wartości wskaźnikowych nie przekracza wartości 1.

8. Oświadczenie.

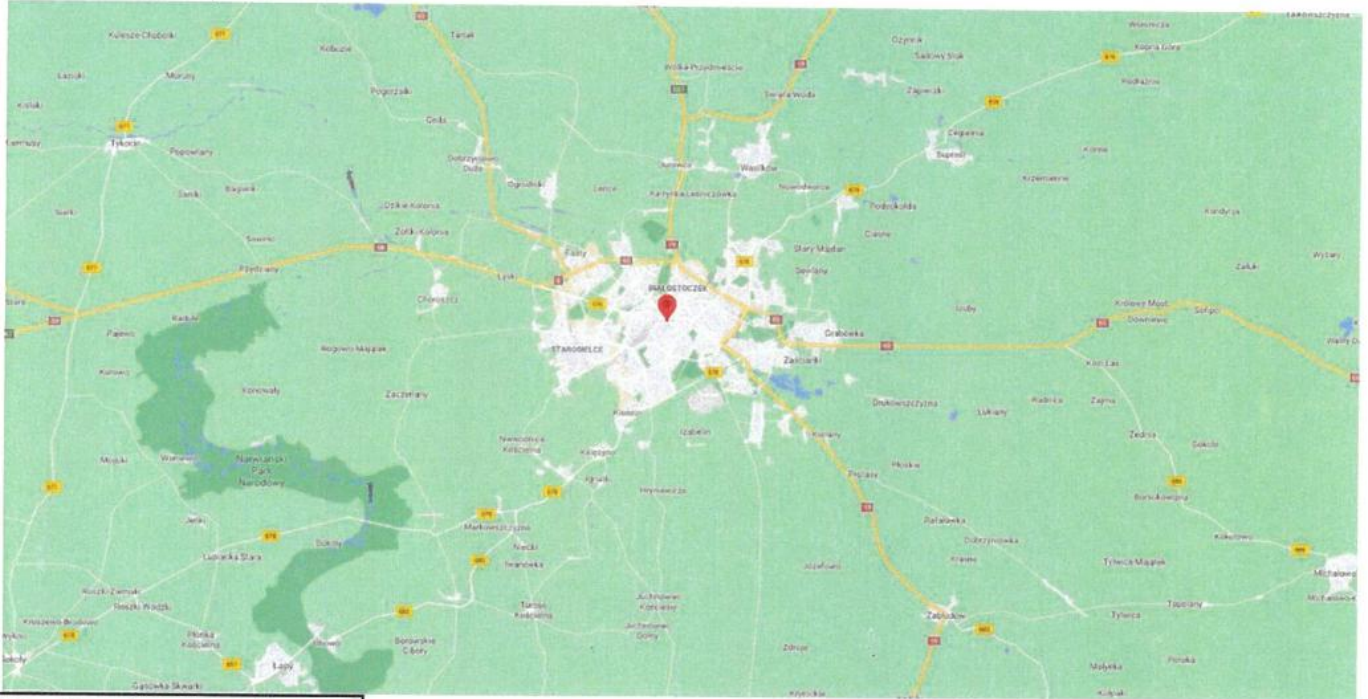
- Wyniki badania odnoszą się wyłącznie do badanego obiektu.
Bez pisemnej zgody sprawozdanie nie może być powielane inaczej, jak tylko w całości.
Uwagi i zastrzeżenia przyjmowane są w formie pisemnej w ciągu 14 dni od daty otrzymania sprawozdania.

9. Spis załączników.

- Zał. 1. Lokalizacja obiektu.
- Zał. 2. Widok pionów pomiarowych
- Zał. 3. Załączniki graficzne

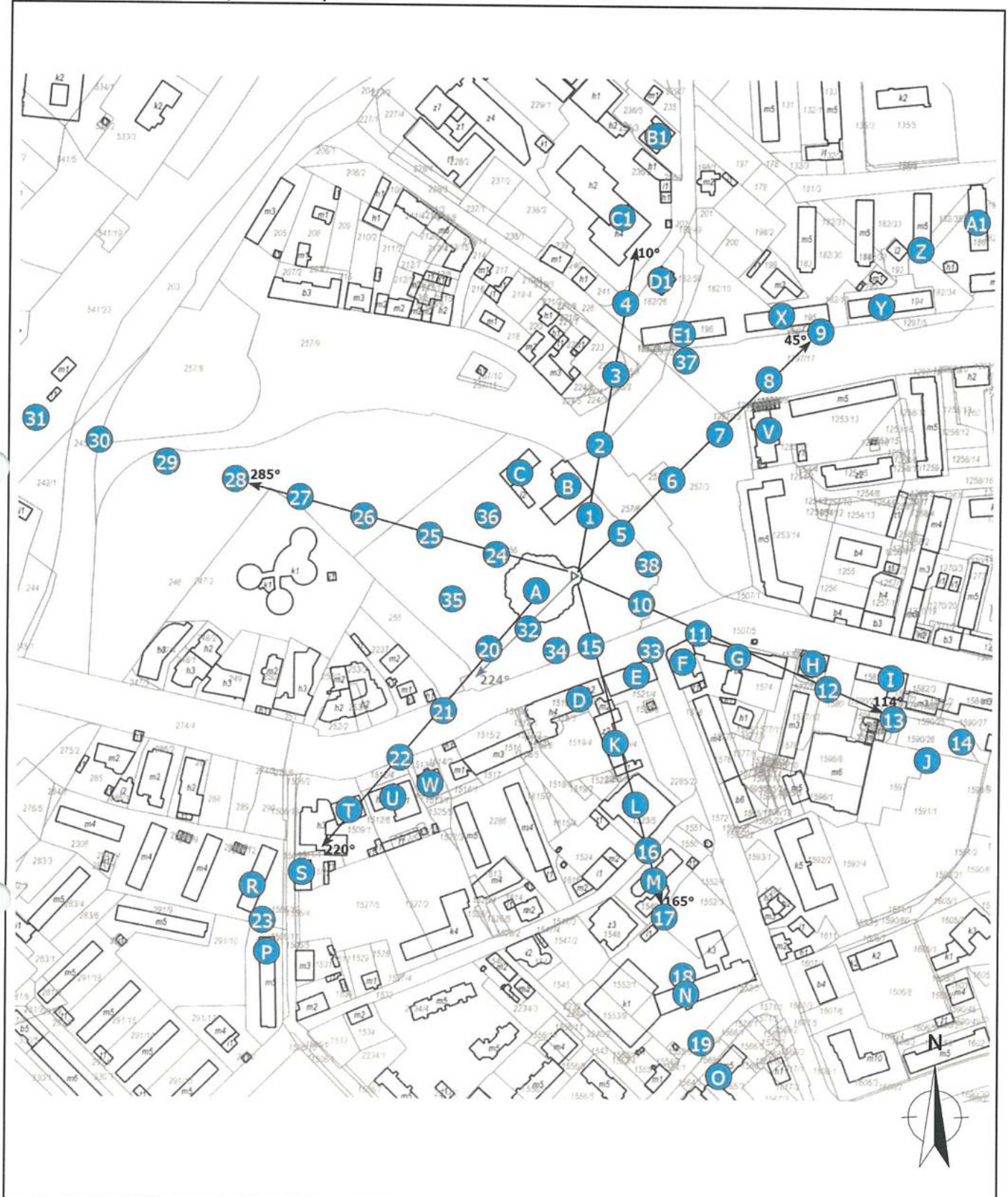
Koniec sprawozdania

Załącznik 1. Lokalizacja obiektu





Współrzędne geograficzne	
długość:	23°08'42.53"E
szerokość:	53°08'04.99"N


Załącznik 2. Widok pionów pomiarowych



LEGENDA:



 inna instalacja radiokomunikacyjna

 brak dostępu

 nr pion pomiarowy z poprawką pomiarową (brak innych instalacji radiokomunikacyjnych)

Odległość, do której zostały wykonane pomiary mierzząc od instalacji antenowej wynosi min.: 400 metrów.

 nr pion pomiarowy z poprawką pomiarową (w zasięgu innych instalacji radiokomunikacyjnych)

 antena sektorowa
 antena radioliniowa

Skala: 1:4800



„Bez pisemnej zgody Laboratorium niniejsze sprawozdanie nie może być powielane inaczej, jak tylko w całości. Ponadto wyniki dotyczą tylko badanych obiektów przywołanych w niniejszym sprawozdaniu z badań”

Załącznik 3. Załączniki graficzne.

